

*К. ф.-м. н. В. Л. ПЕРЕВЕРТАЙЛО*

Украина, г. Киев, НИИ микроприборов  
НТК «Институт монокристаллов» НАНУ  
E-mail: detector@carrier.kiev.ua

Дата поступления в редакцию  
08.04 2010 г.

Оппонент д. ф.-м. н. Д. В. КОРБУТЬЯК  
(ИФП им. В. Е. Лашкарёва, г. Киев)

## ДАТЧИКИ ИНТЕГРАЛЬНОЙ ПОГЛОЩЕННОЙ ДОЗЫ ИОНИЗИРУЮЩЕГО ИЗЛУЧЕНИЯ НА ОСНОВЕ МОП-ТРАНЗИСТОРОВ

*Определены требования к конструкции и технологии изготовления р- и n-канальных МОП-транзисторов с толстым слоем оксида, предназначенных для применения в качестве интегральных дозиметров поглощенной дозы ионизирующего излучения.*

Изменению свойств структур «металл—оксид—полупроводник» (**МОП**) и транзисторов на их основе под воздействием ионизирующего излучения посвящено большое количество научных работ и обзоров, например [1—13].

Описанный в этих работах сдвиг напряжения  $\Delta V_{FB}$  плоских зон МОП-конденсатора и сдвиг порогового напряжения  $\Delta V_T$  МОП-транзистора при радиационном облучении обусловлены встраиванием положительного заряда в оксид МОП-структуры за счет рождения электронно-дырочных пар в  $\text{SiO}_2$  при поглощении энергии излучения и дальнейшего движения дырок и захвата их ловушками в оксиде вблизи поверхности раздела  $\text{Si}-\text{SiO}_2$ . Для генерации одной электронно-дырочной пары в объеме  $\text{SiO}_2$  требуется около 18 эВ. Во время облучения происходит также генерация поверхностных состояний на границе раздела  $\text{Si}-\text{SiO}_2$  [5, 6].

Таким образом, наиболее чувствительной к радиации частью МОП-структуры является оксидный диэлектрик  $\text{SiO}_2$ .

Было показано, что зависимость сдвига порогового напряжения  $\Delta V_T$  от толщины  $t_{ox}$  оксида является степенной функцией типа  $t_{ox}^n$ , где  $n$  может иметь значения  $1 < n < 2$  [7],  $n=2$  [8],  $n=3$  [9], что определяется способом выращивания оксида и технологией изготовления МОП-структуры [10, 11]. Поскольку слой полевого оксида в пассивных областях МОП интегральных схем существенно толще, чем под затворный оксид в стандартном транзисторе, в полевом оксиде эффект встраивания положительного заряда проявляется гораздо сильнее [12].

Наиболее распространенное представление о механизме встраивания положительного заряда в ок-

сид связано с захватом дырок ловушками в оксиде. Этот механизм исследуется много лет большим числом исследователей, предложен ряд моделей, описывающих его [13—24]. Считается, что глубокие ловушки для дырок вблизи поверхности раздела  $\text{Si}-\text{SiO}_2$  возникают вследствие существования переходной области, где окисление еще не завершено и где содержатся избыточные атомы кремния (или вакансики кислорода, так называемые  $E'$ -центры) [14, 25], что приводит к возникновению «трехвалентного кремния» [26, 27], создающего напряженные связи Si-Si. Когда положительно заряженная дырка захватывается такой ловушкой, в трехвалентных кремниевых дефектах связь Si-Si обрывается, решетка релаксирует [14, 25], а дырка становится относительно стабильной.

Большинство исследователей склоняются к моделям напряженных связей и трехвалентных кремниевых дефектов на границе раздела  $\text{Si}-\text{SiO}_2$  [1—4, 14—27]. В работах [28, 29], где изучались необлученные и облученные МОП-структуры, с помощью электронного спинового резонанса (ЭСР) были идентифицированы центры резонанса  $P_b$  как трехвалентные дефекты кремния на границе раздела  $\text{Si}-\text{SiO}_2$ , а их плотность коррелировала с плотностью поверхностных состояний при термообработке. Авторами [28, 29] было показано в эксперименте прямого измерения ЭСР, что облучение увеличивает концентрацию трехвалентного кремния на границе раздела  $\text{Si}-\text{SiO}_2$  и что эти дефекты ответственны за встраивание радиационно-индуцированных состояний.

Здесь опущены подробности механизма захвата дырок ловушками и встраивания положительного заряда в оксиде, которые до сих пор являются предметом дискуссий и исследований [2—4].

Большое влияние на сдвиг напряжения  $V_{FB}$  плоских зон МОП-структуры и порогового напряжения МОП-транзистора  $V_T$  оказывает процесс рекомбинации электронно-дырочных пар в оксиде, рожденных излучением [13, 30]. При приложении положительного напряжения на затвор МОП-структуры в оксиде появляется электрическое поле, вследствие чего рекомбинация только что возникших электронно-дырочных пар уменьшается благодаря растягивающему действию поля и выход дырок увеличивается, что приводит к увеличению встроенного в слой оксида положительного заряда, повышению чувствительности к облучению и повышению линейности отклика на него МОП-структуры.

Автор выражает благодарность за плодотворное сотрудничество профессору А. Б. Розенфельду и его коллегам из Центра медицинской радиационной физики Университета Воллонгонга (Австралия).

## СЕНСОЭЛЕКТРОНИКА

Проведены также исследования влияния энергии ионизирующего излучения и частиц на электронно-дырочную рекомбинацию в оксидах [2, 3, 30—35]. Было показано, что воздействие низкоэнергетичного рентгеновского излучения (единицы и десятки кэВ) дает более сильный эффект встраивания положительного заряда, чем воздействие высокоэнергетичного излучения (сотни и тысячи кэВ). При этом для достижения максимального сдвига  $V_{FB}$  при низких значениях энергии [32] выбирался достаточно толстый оксид (0,5 мкм).

При исследованиях был обнаружен эффект усиления дозы в МОП структуре. Материалы Al и Si имеют более высокие коэффициенты поглощения энергии излучения и, соответственно, большую плотность образованного в этих материалах заряда по сравнению с  $\text{SiO}_2$ . Поэтому в слой  $\text{SiO}_2$  происходит инжекция заряда из прилегающих к нему затвора (Al) и подложки (Si), за счет чего в  $\text{SiO}_2$  добавляется заряд дополнительно к тому, который образовался при поглощении энергии оксидом. Эффект проявляется сильнее в тонком слое  $\text{SiO}_2$  [4, 10, 11, 33, 36]. Поскольку доза определяется по величине заряда в  $\text{SiO}_2$ , то из-за инжекции измеряемое значение дозы оказывается завышенным.

Подробное описание упомянутых явлений и моделей можно найти в обзорах [1—4]. Как видим, эффект накопления положительного заряда в слое оксида МОП-транзистора вблизи границы раздела  $\text{Si}-\text{SiO}_2$  при воздействии ионизирующего излучения различного вида исследуется длительное время и не случайно, что он был широко применен для создания датчиков интегральной поглощенной дозы (в частности, дозы гамма-излучения), которые используются в различных областях — в радиотерапии, для дозиметрии космических излучений, пучков в физике высоких энергий, в аварийных дозиметрах и др.

Использование МОП-транзисторов с пленкой подзатворного диэлектрика  $\text{SiO}_2$  в качестве датчиков накапленной дозы ионизирующего излучения описано в [37—55].

Накопление положительного заряда в оксидах приводит к сдвигу порогового напряжения  $V_T$  МОП-транзистора, при этом величина сдвига  $\Delta V_T$  характеризует интегральную дозу поглощенного ионизирующего излучения. Измерение  $\Delta V_T$  проводится путем измерения величины  $V_T$  до и после облучения транзистора. Величина накапленного в слое оксида заряда  $Q_{ox}$  зависит от толщины этого слоя [7—9], а также от параметров электрического поля в оксидах, определяемых внешним напряжением на затворе транзистора и встроенным потенциалом МОП-структурой. Еще одним фактором, влияющим на чувствительность МОП-структур к ионизирующему излучению, является концентрация ловушек для дырок вблизи границы раздела  $\text{Si}-\text{SiO}_2$  и их пространственное и энергетическое распределение. Недостаточно высокая концентрация ловушек в оксидах может быть фактором, ограничивающим накопление заряда в оксидах при облучении. Для получения максимальной чувствительности к воздействию ионизирующего излучения МОП-транзистор должен иметь достаточно толстый слой подзатворного оксида (как правило, больше 0,5 мкм). Чув-

ствительность также повышается в активном режиме, т. е. когда к затвору транзистора приложено положительное напряжение. В пассивном режиме чувствительность к облучению ниже, но имеется возможность использовать МОП-транзистор как датчик-дозиметр ионизирующего излучения без каких-либо источников питания.

Из приведенного обзора следует, что картина изменения свойств МОП-структур при облучении многообразна и неоднозначна, что обусловлено сильной зависимостью состояния поверхности раздела  $\text{Si}-\text{SiO}_2$  и характера распределения ловушек в оксидах от технологии изготовления структур. Поэтому при разработке технологии изготовления МОП-приборов для использования в целях дозиметрии ионизирующего излучения, в том числе для дозиметрии в медицине, необходимо решить ряд проблем, которые связаны с обеспечением стабильности и воспроизводимости параметров МОП-приборов. Решение этой сложной задачи для толстых (0,5—1,0 мкм) слоев оксида представлено в данной работе. Требование к воспроизводимости параметров относится к воспроизводимости встраиваемого в слой оксида заряда во всех транзисторах, изготовленных на пластинах из одной партии или даже из разных, при одинаковых условиях облучения, т. е. речь идет о воспроизводимости чувствительности и надежности процесса калибровки приборов.

Известно, что наличие корпуса, материалы и способ корпусировки существенно влияют на результаты измерения дозы, искажая их за счет вторичного излучения [56]. Поэтому была поставлена задача разработать МОП-прибор без корпуса и без применения традиционных защитных компаундов, т. е. практически без герметизации. В таком приборе значительно повышаются требования к стабильности порогового напряжения, форме ВАХ и др. при воздействии атмосферной влаги, биологических и химических веществ.

Кроме дозиметрии гамма- и рентгеновского излучения, МОП-транзисторы успешно применяются также для дозиметрии электронов [23], протонов [35, 44], вакуумного ультрафиолета [6], космического излучения [38] и др.

### Технология и характеристики интегральных дозиметров на основе *p*-канальных МОП-транзисторов

Обеспечение воспроизводимости и стабильности параметров МОП-транзисторов, предназначенных для дозиметрии в медицине, достигалось с помощью специальных технологических и конструктивных мер.

Технология производства таких МОП-дозиметров требует применения особых режимов выращивания толстого слоя подзатворного оксида для обеспечения его чистоты, однородности и стабильности, а также режимов термообработки после выращивания  $\text{SiO}_2$  (отжига в газовых средах) для создания необходимой плотности и спектра распределения ловушек в оксидах и минимальной плотности их на поверхности раздела  $\text{Si}-\text{SiO}_2$ .

При разработке технологии МОП-транзисторов были учтены следующие особенности и требования.

— В одном технологическом цикле на кремниевом кристалле формируются транзисторы двух ти-

## СЕНСОЭЛЕКТРОНИКА

пов — с толстым (0,5—1,0 мкм) и относительно тонким (0,1—0,15 мкм) слоем подзатворного оксида.

— Для получения толстой однородной пленки стабильного оксида используется комбинация режимов окисления (сухое, влажное, сухое).

— Операции очистки и защиты от загрязнений (продувка кварцевой трубы установки окисления парами Cl<sub>2</sub>, использование HCl при окислении кремния, пирогенное окисление, нанесение тонкой пленки фосфоросиликатного стекла (**ФСС**) на поверхность подзатворного оксида) позволяют получить чистую пленку SiO<sub>2</sub>, обладающую высокой стабильностью.

— Все операции легирования проводятся с помощью ионной имплантации примеси для минимизации содержания посторонних (загрязняющих) примесей и повышения пробивного напряжения исток-стоковых областей, т. к. изменения  $V_T$  могут превышать 10—10<sup>2</sup> В.

— Для создания ловушек для дырок в оксиде вблизи поверхности раздела проводят отжиг тонкого и толстого слоев оксида в атмосфере азота.

— Для регулировки и получения заданного значения порогового напряжения проводят подлегирование бором подзатворных областей каналов транзисторов.

— Контакт к подложке формируют на лицевой стороне пластины, что упрощает сборку прибора и позволяет уточнять кристаллы путем шлифовки обратной стороны пластины после изготовления приборов.

В разработанной технологии изготовления *p*-МОП транзисторов с толстым слоем SiO<sub>2</sub> можно выделить такие этапы и последовательность операций.

1. Формирование контактов к подложке на лицевой стороне кристалла.

2. Формирование активных областей транзисторов с толстым слоем оксида и подлегирование бором областей каналов.

3. Области, где будут сформированы транзисторы с тонким слоем оксида, защищают нитридом кремния перед выращиванием толстого слоя SiO<sub>2</sub> с применением блока технологии «LOCOS» [57], известной своим свойством планаризовывать поверхность и формировать ненапряженную структуру на переходе «полевой оксид — тонкий оксид» в отличие от травления, которое образует ступеньку.

4. Формирование областей «исток—сток» транзисторов с толстым слоем SiO<sub>2</sub>. Защита этих областей нитридом кремния.

5. Выращивание подзатворного SiO<sub>2</sub> для транзистора с толстым слоем оксида (0,6 мкм).

6. Снятие нитрида кремния и выращивание тонкого подзатворного SiO<sub>2</sub> для транзистора с тонким слоем оксида (0,12 мкм).

7. Стабилизация подзатворного диэлектрика тонким слоем ФСС и нанесение тонкой защитной пленки металла (Ме-защита) на поверхности подзатворных оксидов.

8. Формирование контактных окон к областям «исток—сток» транзисторов.

9. Нанесение пленки затворного металла (Al), фотолитография по металлу и вжигание Al.

10. Пассивация поверхности приборов слоем низкотемпературного фосфоросиликатного стекла толщиной 0,9 мкм.

11. Шлифовка обратной стороны пластины (для улучшения угловой зависимости чувствительности МОП-дозиметров относительно положения источника излучения).

12. Изготовление варианта МОП-транзистора с поликремниевым затворным электродом.

Технология одновременного получения *p*-МОП-транзисторов двух типов — с подзатворным оксидом разной толщины — имеет такие особенности.

— Поскольку процесс формирования толстого слоя подзатворного оксида и процессы поглощения бора оксидом (точнее, движущейся вглубь кремния границей роста оксида) и его перераспределения (диффузии) длительны, расчет дозы подлегирования бором канала под толстым оксидом (которая достаточно мала) проводили очень тщательно. При этом учитывалась зависимость коэффициента диффузии бора от его дозы, а также то, что величина дозы должна быть достаточной, чтобы обеспечивать опережающую диффузию бора по сравнению с движением границы роста оксида.

— Для ускорения роста толстого слоя подзатворного оксида и достижения низкого значения встроенного положительного заряда и высокой стабильности характеристик оксида он выращивался при температуре 1100°C сначала в атмосфере сухого кислорода (40 мин), затем отжигался в атмосфере сухого азота (20 мин), после чего процесс окисления продолжался во влажном кислороде и завершался в сухом кислороде (20 мин).

— С целью повышения стабильности оксида проводился процесс осаждения на подзатворный SiO<sub>2</sub> тонкого слоя фосфоросиликатного стекла.

— Проводилось двойное вжигание пленки Al при температуре 450°C в атмосфере азота — до нанесения слоя низкотемпературного ФСС и после защиты-пассивации стеклом.

— Для формирования контактов к подложке *n*-типа оптимальным является ионное легирование фосфором областей контактов в самом начале маршрута.

По описанной технологии на стандартных пластинах кремния *n*-типа (КЭФ-4,5) с ориентацией <100> и диаметром 100 мм были одновременно изготовлены *p*-канальные МОП-транзисторы с толстым (0,6 мкм) и относительно тонким (0,12 мкм) слоями подзатворного оксида (**рис. 1**). Фотографии готовых изделий представлены на **рис. 2**.

Проводилась также ионная имплантация примеси бора в области канала МОП-транзистора с толстым слоем оксида с целью подгонки (понижения) величины его порогового напряжения. Известно, что пороговое напряжение МОП-транзистора  $V_T$ , соответствующее условию сильной инверсии, равно [58, с. 77, 197, 203]:

$$V_T = \Phi_{MS} + \Phi_B - \frac{Q_{ox}}{C_{ox}} - \frac{Q_B}{C_{ox}}, \quad (1)$$

где  $\Phi_{MS}$  — разность работ выхода электрона из металла и кремния;

$\Phi_B$  — потенциал, соответствующий сильной инверсии, т. е. изгибу зон, равному двум уровням Ферми ( $\Phi_B = -2\Phi_F$ );

$Q_{ox}$  — заряд слоя оксида;

$C_{ox}$  — емкость слоя оксида.

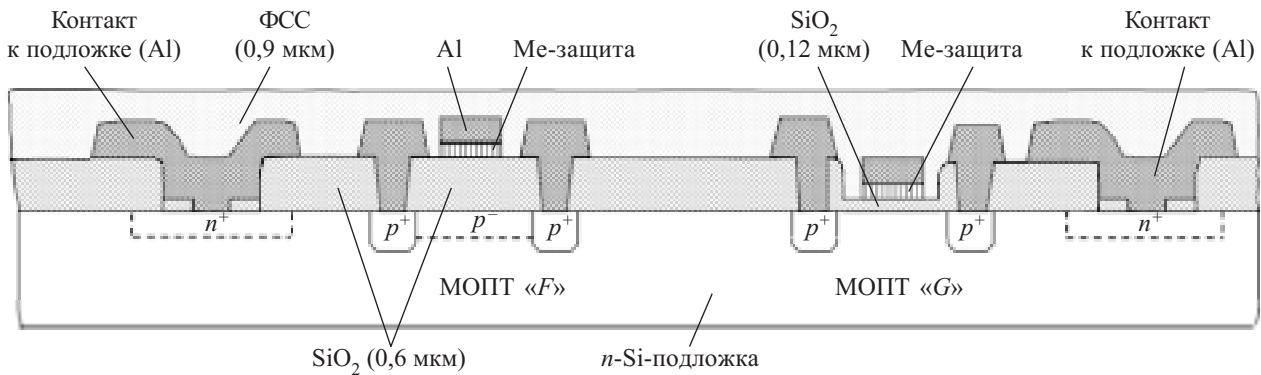


Рис. 1. Схема p-канальных МОП-транзисторов с толстым слоем оксида (МОПТ «F») и с тонким слоем оксида (МОПТ «G»), сформированных на n-Si-подложке

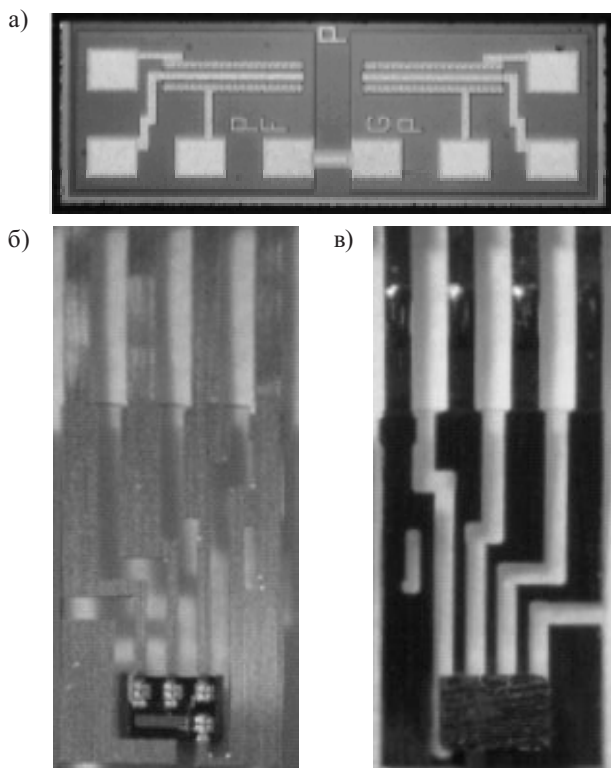


Рис. 2. Фото кристалла с прямыми p-канальными транзисторами «F» и «G» (а) и фото кристалла в сборке на гибком носителе (б — лицевая сторона, в — обратная сторона)

$$Q_B = \left( 2\epsilon_s q N_D [-V - \Phi_B] \right)^{1/2}, \quad (2)$$

где  $\epsilon_s$  — диэлектрическая постоянная кремния;  
 $q$  — заряд электрона;  
 $N_D$  — концентрация донорной примеси в кремнии;  
 $V$  — напряжение на  $p-n$ -переходе «канал—подложка».

Член  $Q_B/C_{ox}$  в выражении (1) характеризует вклад легирующих примесей в величину порогового напряжения  $V_T$ . Доза ионного легирования подзатворных областей рассчитывалась с учетом уравнения (1), а также подбиралась экспериментально из диапазона 0,1—1,0 мКл/см<sup>2</sup>.

Значения порогового напряжения p-канальных МОП-транзисторов с толстым слоем оксида без под-

легирования канала составляли -(4,5—5,0) В (измерения проводились при фиксированном токе 100 мкА), а у транзисторов с подлегированным каналом эти значения уменьшались до величины, близкой к -1,0 В. Аналогичные транзисторы с тонким слоем оксида без подлегирования канала имели пороговые напряжения вблизи -2,0 В. Величина разброса значений порогового напряжения транзисторов не превышала 5—7%.

Конструктивно транзисторы выполнены в виде прямого канала длиной 20 мкм и шириной 400 мкм. Размеры кристаллов транзисторов — 0,57×1,6 мм. Они были собраны по технологии гибких носителей «алюминий—полиимид» [59]. Транзистор, собранный на гибком носителе с толщиной слоя алюминия 20 мкм и слоя полииамида 30 мкм, показан на рис. 2, б, в. Такие транзисторы предназначены для клинической дозиметрии при контроле локальных доз облучения в онкотерапии и для других применений.

Проверка стабильности величины порогового напряжения p-канальных МОП-транзисторов, которая проводилась при комнатной температуре после выдержки приборов при температуре +85°C, показала отсутствие дрейфа порогового напряжения при воздействии в течение двух часов напряжения ±30 В на затворе относительно истока и подложки для транзисторов как с тонким (0,12 мкм), так и с толстым (0,6 мкм) слоем оксида. При этом изменения порогового напряжения транзисторов не превышали ±1%. Аналогичные результаты получены для p-канальных транзисторов с поликремниевым затвором.

Радиационная чувствительность к гамма-излучению p-канальных транзисторов с толстым подзатворным оксидом определялась с помощью их облучения на различных медицинских гамма-установках. При разных параметрах гамма-источников (энергии, мощности и др.) чувствительность имела разные значения и в пассивном режиме составляла около 1—3 мВ/рад. Например, при калибровке p-MOP-дозиметра с использованием гамма- и рентгеновского излучения с энергией 6 МэВ от линейного ускорителя «Varian 2100EX» чувствительность дозиметра (сдвиг  $V_T$ ) составляла 207±3 мВ/Гр, что соответствует 2,07 мВ/рад ±1,5% [60]. При калибровке другим источником (<sup>192</sup>Ir) чувствительность p-MOP дозиметра составляла 216 ± 7 мВ/Гр, что соответствует

2,16 мВ/рад  $\pm 3,2\%$  [60]. Зависимость изменения порогового напряжения *p*-МОП-транзисторов ( $\Delta V_T$ ) от величины дозы гамма-облучения близка к линейной в диапазоне доз 0—1000 рад. В случае приложения положительного напряжения при облучении (в активном режиме) чувствительность *p*-МОП-дозиметра возрасла до 40—50 мВ/рад.

#### Особенности технологии и конструкции дозиметров на *n*-канальных МОП-транзисторах

При использовании для *n*-канального транзистора кремниевой подложки с *p*-типом проводимости возникает ряд отличий в технологии и конструкции этих приборов по сравнению с *p*-канальными транзисторами. Во-первых, использование фосфора вместо бора при формировании истоков-стоков требует изменения режимов ионной имплантации и разгонки примеси из-за существенного отличия в коэффициенте диффузии, а перераспределение акцепторной примеси бора из подложки в оксид при проведении термического окисления требует учета этого эффекта при выборе исходной легированной подложки. Во-вторых, особенностью *n*-канальных транзисторов является появление инверсионного слоя неосновных носителей при увеличении обедняющего (положитель-

ного) потенциала на поверхности кремния. В процессе окисления поверхности подложки кремния *p*-типа происходит встраивание фиксированного положительного заряда в полевом оксиде на поверхности раздела Si—SiO<sub>2</sub> и его дальнейшее увеличение при облучении. Это эквивалентно увеличению положительного потенциала на поверхности раздела Si—SiO<sub>2</sub>, которое приводит к возникновению инверсионного слоя вокруг транзистора и, в конечном счете, к короткому замыканию истока со стоком через инверсионный слой и потере возможности контроля тока истока-стока при изменении затворного напряжения. Одним из вариантов предотвращения такого замыкания цепи истока-стока при инвертировании поверхности в *n*-канальном транзисторе является использование замкнутого транзистора, у которого затвор окружен стоком и истоком со всех сторон так, что он не соприкасается с инвертированной поверхностью снаружи транзистора в пассивных областях. Были использованы варианты конструкции транзисторов с затвором в виде прямоугольной замкнутой шины и с затвором в виде кольца (рис. 3, 4).

С учетом описанных особенностей *n*-канальных МОП-транзисторов была разработана также технология и конструкция дозиметра на основе *n*-канальных МОП-транзисторов с толстым слоем оксида, которая имеет некоторые отличия от описанной выше технологии *p*-канальных МОП-транзисторов. Эти отличия связаны с тем, что после изготовления *n*-МОП-транзистор имеет положительное значение порогового напряжения, которое при облучении уменьшается до нуля, а при дальнейшем увеличении дозы сдвигается в область отрицательных значений с переходом через нулевое значение. Это представляет неудобство при использовании таких транзисторов в измерительных системах. Например, при чувствительности транзистора к ионизирующему излучению в пассивном режиме, равной 1—1,5 мВ/рад, для перекрытия диапа-

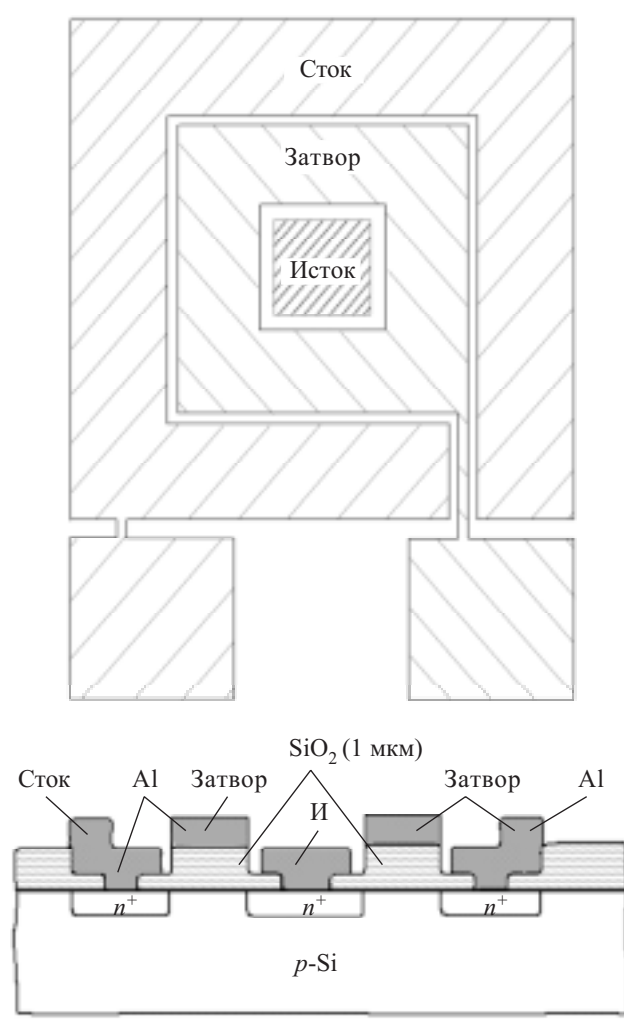


Рис. 3. Схема замкнутого *n*-канального транзистора с толстым слоем оксида

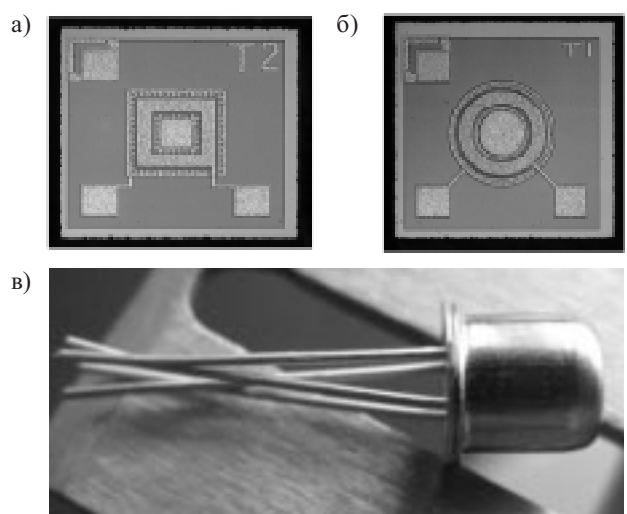


Рис. 4. Фотографии кристаллов *n*-канальных транзисторов с затвором в виде прямоугольной замкнутой шины (а) и в виде кольца (б) и транзистор в корпусе типа КТ-1 (в). Толщина подзатворного оксида  $t_{ox} = 1,0$  мкм, размер кристалла 1×1 мм

зона доз 5000 рад необходимо иметь транзисторы с пороговым напряжением  $V_T$  не менее 5—8 В, в то время как транзистор с оксидом толщиной 1 мкм, изготовленный на стандартной подложке КДБ-10, имеет значение  $V_T \approx 3$ —5 В. Поэтому для обеспечения достаточно высокого положительного порогового напряжения и, соответственно, более широкого диапазона изменения положительных значений  $V_T$  было разработано два варианта транзисторов. В первом варианте (группа А на рис. 5) применяли ионное легирование области канала транзистора, изготовленного на подложке КДБ-10, для соответствующего сдвига порогового напряжения транзистора в сторону увеличения его положительного значения, например до 8—10 В, а во втором варианте (группа Б на рис. 5) для повышения порогового напряжения применялась специальная подложка *p*-типа с повышенной концентрацией акцепторной примеси.

По разработанной технологии были изготовлены *n*-канальные МОП-транзисторы с толстым слоем оксида ( $t_{ox} = 1,0$  мкм) на стандартных пластинах кремния *p*-типа (КДБ-10) диаметром 100 мм (рис. 4, *a*). Результаты измерения значений порогового напряжения *n*-канальных МОП-транзисторов при фиксированном значении тока (100 мкА) представлены на рис. 5. Разброс значений порогового напряжения для партии транзисторов первого варианта (группа А) составляет около 8%, а для партии транзисторов второго варианта (группа Б) — около 3%. Сборка кристаллов транзисторов размером 1×1 мм проводилась в корпусе типа КТ-1 (см. рис. 4, *b*, *c*).

Проводились измерения стабильности порогового напряжения *n*-канальных МОП-транзисторов с  $t_{ox} = 1,0$  мкм при комнатной температуре после их выдержки по описанной выше методике (+85°C, ±30 В). Как и в случае *p*-канального транзистора, они показали отсутствие дрейфа  $V_T$ , а нестабильность величины порогового напряжения составила менее ±1%.

Большое влияние на пороговое напряжение и, соответственно, на точность измерения дозы оказывает температура. Исследования показали, что при нулевом

напряжении смещения подложки температурный дрейф  $V_T$  может составлять 5—8 мВ/°C в диапазоне температуры 20—50°C. Поэтому для уменьшения погрешности при измерении накопленной дозы, особенно малых ее значений, необходимо знать температурную зависимость  $V_T$  и контролировать температуру.

#### Радиационные характеристики *n*-канальных МОП-транзисторов с толстым подзатворным оксидом

Для определения чувствительности *n*-канальных МОП-транзисторов с толстым слоем подзатворного оксида проводились радиационные испытания на гамма- и рентгеновских источниках. Результаты испытаний на кобальтовой пушке «Агат-Р1» (медицинское оборудование, источник гамма-излучения — изотоп  $^{60}\text{Co}$ , энергия — 1,25 МэВ, мощность дозы — около 3 рад/с) в пассивном режиме в диапазоне доз от 0 до 5000 рад приведены на рис. 6 и 7. Доза облучения определялась по времени облучения для калиброванной мощности излучения (точность измерения дозы гамма-излучения — не хуже 15%).

На рис. 6 видно, что все приведенные зависимости  $V_T$  от дозы облучения достаточно близки к линейным в диапазоне доз 0—1000 рад. Это более наглядно показано на рис. 7, где приведены результаты зависимости относительной величины сдвига порогового напряжения *n*-канальных МОП-транзисторов  $\Delta V_T$  от дозы гамма-излучения в диапазоне доз от 0 до 1000 рад.

На рис. 6 видно также постепенное уменьшение наклона кривых при увеличении дозы облучения от 1000 до 5000 рад, что, вероятно, связано с влиянием поля, создаваемого увеличением положительного заряда дырок, встраивющихся в оксид вблизи поверхности раздела Si— $\text{SiO}_2$  во время облучения, а так-

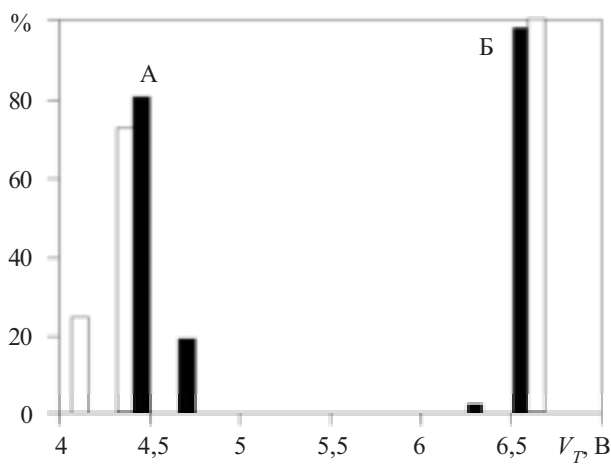


Рис. 5. Гистограммы распределения значений порогового напряжения *n*-канальных МОП-транзисторов для замкнутых кольцевых (■) и прямоугольных (□) транзисторов;  $t_{ox} = 1,0$  мкм

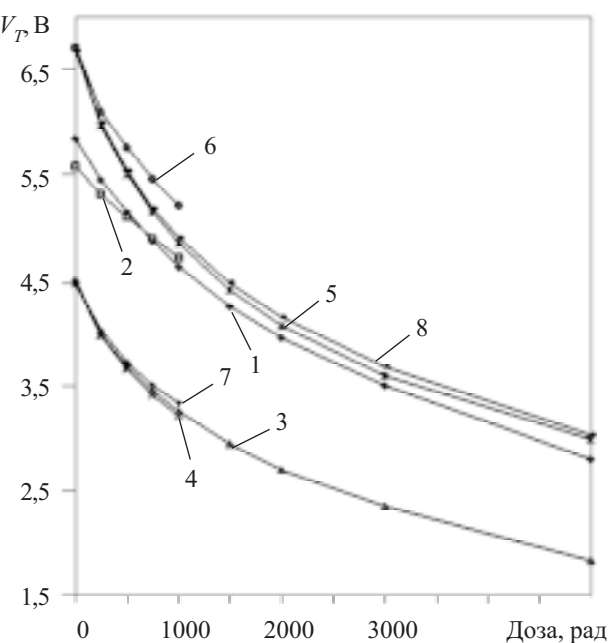


Рис. 6. Зависимость порогового напряжения *n*-канальных МОП-транзисторов от дозы гамма-излучения для образцов, изготовленных на пластинах КДБ-12 (1, 2, 5, 6, 8) и на пластинах КДБ-3 (3, 4, 7)

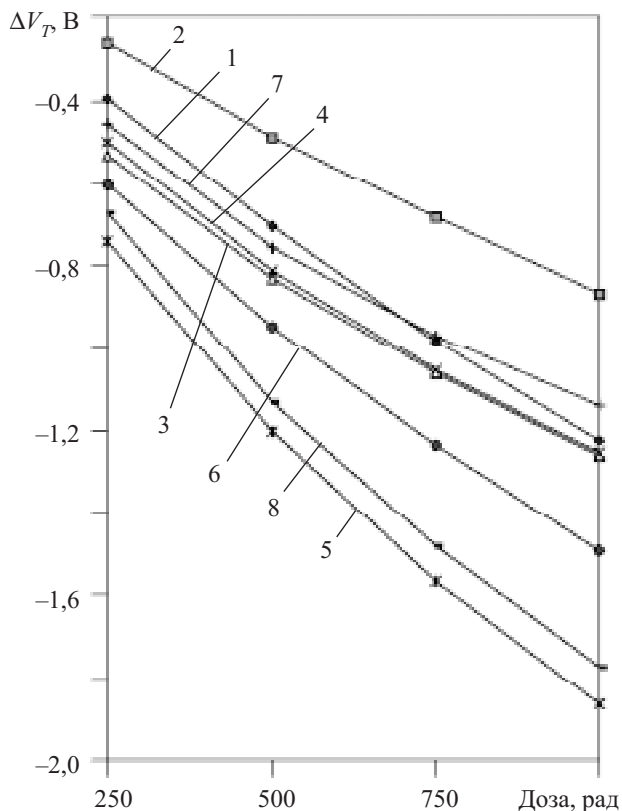


Рис. 7. Зависимость величины сдвига порогового напряжения  $n$ -канальных МОП-транзисторов  $\Delta V_T$  для тех же образцов, что и на рис. 6, от дозы гамма-излучения

же с уменьшением количества свободных ловушек в оксиде из-за постепенного их заполнения дырками при облучении.

Чувствительность изготовленных  $n$ -канальных МОП-транзисторов к гамма-излучению (сдвиг порогового напряжения на единицу дозы) при их использовании в качестве датчиков интегральной дозы (гамма-дозиметров) составляла 1—4 мВ/рад в диапазоне доз 0—250 рад и постепенно уменьшалась при увеличении дозы облучения и составляла 0,8—1,8 мВ/рад в диапазоне доз 250—1000 рад. Максимальная их чувствительность в пассивном режиме составляла 3—4 мВ/рад в диапазоне доз 0—250 рад, что превышает чувствительность аналогичных образцов  $n$ -канальных МОП-транзисторов, изготовленных ранее [44]. Участок зависимости, наиболее близкий к линейному, наблюдается в диапазоне доз 250—1000 рад.

Аналогично ведут себя характеристики  $p$ -канальных и  $n$ -канальных МОП-транзисторов при облучении другими видами ионизирующего излучения, например рентгеновским [61]. При этом радиационная чувствительность МОП-транзисторов имеет другие значения.

### Выходы

Проведенный анализ влияния различных конструктивно-технологических факторов на стабильность, воспроизводимость параметров и чувствительность отклика МОП-транзисторов на воздействие различного ионизирующего излучения позволил определить требования к технологии и конструкции  $p$ -канальных

и  $n$ -канальных МОП-транзисторов с толстым слоем оксида, предназначенных для применения в качестве интегральных дозиметров поглощенной дозы ионизирующего излучения. Для расширения диапазона измеряемых доз разработан вариант технологии формирования в одном технологическом цикле транзисторов двух типов с разной толщиной слоя подзатворного оксида, имеющих разную чувствительность к ионизирующему излучению.

Изготовлены МОП-дозиметры как в варианте  $p$ -канальных, так и  $n$ -канальных приборов, обладающие устойчивыми характеристиками.

### ИСПОЛЬЗОВАННЫЕ ИСТОЧНИКИ

1. Ma T. P., Dressendorfer P. V. Ionizing radiation effects in MOS devices and circuits.— New York: Wiley Interscience, 1989.
2. Oldham T. R. Ionizing radiation effects in MOS oxides / In book: Advances in solid state electronics and technology (ASSET) series.— Singapore: World Scientific, 1999.
3. Hughes H. L., Benedetto J. M. Radiation effects and hardening of MOS technology devices and circuits // IEEE Trans. on Nuclear Science.— 2003.— Vol. 50, N 3.— P. 500—521.
4. Oldham T. R., McLean F. B. Total ionizing dose effects in MOS oxides and devices// IEEE Trans. on Nuclear Science.— 2003.— Vol. 50, N 3.— P. 483—499.
5. Zaininger K. H. Irradiation of MIS capacitors with high-energy electrons // IEEE Trans. on Nuclear Science.— 1966.— Vol. NS-13, N 6.— P. 237—247.
6. Powell R. J., Derbenwick G. F. Vacuum ultraviolet radiation effects in  $\text{SiO}_2$ // IEEE Trans. on Nuclear Science.— 1971.— Vol. NS-18, N 6.— P. 99—105.
7. Adams J. R., Daves W. R., Sanders T. J. A radiation hardened field oxide // IEEE Trans. on Nuclear Science.— 1977.— Vol. NS-24, N 6.— P. 2099—2101.
8. Derbenwick G. F., Gregory B. L. Process optimization of radiation-hardened CMOS integrated circuits // IEEE Trans. on Nuclear Science.— 1975.— Vol. NS-22.— P. 2151—2156.
9. Hughes G. W., Powell R. J. MOS hardness characterization and its dependence upon some process and measurement variables // IEEE Trans. on Nuclear Science.— 1976.— Vol. NS-23.— P. 1569—1572.
10. Saks N. S., Ancona M. G., Modolo J. A. Radiation effects in MOS capacitors with very thin oxides at 80 K // IEEE Trans. on Nuclear Science.— 1984.— Vol. NS-31.— P. 1249—1255.
11. Benedetto J. M., Boesch H. E., McLean F. B. Hole removal in thin gate MOSFET's by tunneling // IEEE Trans. on Nuclear Science.— 1985.— Vol. NS-32.— P. 3916—3920.
12. Adams J. R., Coppage F. N. Field oxide inversion effects in irradiated CMOS devices// IEEE Trans. on Nuclear Science.— 1976.— Vol. NS-23, N 6.— P. 1604—1609.
13. Hu G. J., Aitken J. M., Dennard R. H. A hardened field insulator // IEEE Trans. on Nuclear Science.— 1981.— Vol. NS-28, N 6.— P. 4102—4104.
14. Ngai K. L., White C. T. A model of interface states and charges at  $\text{Si}-\text{SiO}_2$  interface: its predictions and comparison with experiments // J. Appl. Phys.— 1981.— Vol 52.— P. 320—337.
15. Laughlin R. B., Joannopoulos J. O., Chadi D. J. Theory of the electronic structure of the  $\text{Si}-\text{SiO}_2$  interface // Phys. Rev.— 1980.— B21.— P. 5733—5744.
16. McLean F. B. A framework for understanding radiation-induced interface states in  $\text{SiO}_2$  MOS structures // IEEE Trans. on Nuclear Science.— 1980.— Vol. NS-27, N 6.— P. 1651—1657.
17. Revesz A. G. Defect structure and irradiation behavior of noncrystalline  $\text{SiO}_2$  // IEEE Trans. on Nuclear Science.— 1971.— Vol. NS-18.— P. 113—116.
18. Svensson C. M. The physics of  $\text{SiO}_2$  and its interfaces / Ed. by S. T. Pantelides.— New York: Pergamon Press, 1978.— P. 328.

## СЕНСОЭЛЕКТРОНИКА

19. Sah S. T. Origin of interface states and oxide charges generated by ionizing radiation // IEEE Trans. on Nuclear Science.— 1976.— Vol. NS-23, N 6.— P. 1563—1568.
20. Deal B. E. The current understanding of charges in the thermally oxidized silicon structure // J. Electrochem. Soc.— 1974.— Vol. 121.— P. 198—205.
21. Sakurai T., Sugano T. Theory of continuously distributed trap states at Si—SiO<sub>2</sub> interfaces // J. Appl. Phys.— 1981.— Vol. 52.— P. 2889—2896.
22. Revesz A. G. Chemical and structural aspects of the irradiation behavior of SiO<sub>2</sub> films on silicon // IEEE Trans. on Nuclear Science.— 1977.— Vol. NS-24.— P. 2102—2107.
23. Pepper M. Low energy electron irradiation of the Si—SiO<sub>2</sub> interface // Thin Solid Films.— 1972.— Vol. 14.— S7—S10.
24. McCartry J. M., Winokur P. S., Boesch H. E., McLean F. B. The physics of SiO<sub>2</sub> and its interfaces / Ed. by S. T. Pantelides.— New York: Pergamon Press, 1978.— P. 428.
25. Feigl F. J., Fowler W. B., Yip K. L. Oxygen vacancy model for the E<sub>1</sub>' center in SiO<sub>2</sub> // Solid State Commun.— 1974.— Vol. 14, N 3.— P. 225—229.
26. Lenahan P. M., Dressendorfer P. V. Hole traps and trivalent silicon centers in metal/oxide/silicon devices // J. Appl. Phys.— 1984.— Vol. 55.— P. 3495—3499.
27. Lenahan P. M., Brower K. L., Dressendorfer P. V., Johnson W. C. Radiation-induced trivalent silicon defect buildup at the Si—SiO<sub>2</sub> interface in MOS structures // IEEE Trans. on Nuclear Science.— 1981.— Vol. NS-28.— P. 4105—4106.
28. Caplan P. G., Poindexter E. H., Deal B. E., Razouk R. R. ESR centers, interface states, and oxide fixed charge in thermally oxidized silicon wafers // J. Appl. Phys.— 1979.— Vol. 50.— P. 5847—5854.
29. Poindexter E. H., Caplan P. G., Deal B. E., Razouk R. R. Interface states and electron spin resonance centers in thermally oxidized (111) and (100) silicon wafers // J. Appl. Phys.— 1981.— Vol. 52.— P. 879—884.
30. Hughes R. C. Charge-carried transport phenomena in amorphous SiO<sub>2</sub>: direct measurements of the drift mobility and lifetime // Phys. Rev. Lett.— 1973.— Vol. 30.— P. 1333—1336.
31. Benedetto J. M., Boesch H. E. The relationship between <sup>60</sup>Co and 10 keV X-ray damage in MOS devices // IEEE Trans. on Nuclear Science.— 1986.— Vol. NS-33.— P. 1318—1323.
32. Dozier C. M., Brown D. B. Effect of photon energy on the response of MOS devices // IEEE Trans. on Nuclear Science.— 1981.— Vol. NS-28.— P. 4137—4141.
33. Dozier C. M., Brown D. B. The use of low energy X-Rays for device testing – a comparison with Co<sup>60</sup> radiation // IEEE Trans. on Nuclear Science.— 1983.— Vol. NS-30.— P. 4382—4387.
34. Fleetwood D. M., Winokur P. S., Dozier C. M., Brown D. B. Effect of bias on the response of metal-oxide-semiconductor devices to low energy X-ray and Cobalt-60 irradiation // Appl. Phys. Lett.— 1988.— Vol. 52.— P. 1514—1516.
35. Paillet P., Schwank J. R., Shaneyfelt M. R. et al. Comparison of charge yield in MOS devices for different radiation sources // IEEE Trans. on Nuclear Science.— 2002.— Vol. NS-49.— P. 2656—2661.
36. Boesch H. E., McGarry G. M. Charge yield and dose effects at 80 K // IEEE Trans. on Nuclear Science.— 1976.— Vol. NS-23.— P. 1520—1525.
37. Holmes-Siedle A. G., Adams L. Dosimetric silica films: the influence of fields on the capture of positive charge // IEEE Trans. on Nuclear Science.— 1982.— Vol. NS-29.— P. 1975—1979.
38. Holmes-Siedle A. G. The space charge dosimeter — general principles of a new method of radiation dosimetry // Nucl. Instrum. and Methods.— 1974.— Vol. 121.— P. 169—179.
39. Adams L., Holmes-Siedle A. The development of an MOS dosimetry unit for use in space // IEEE Trans. on Nuclear Science.— 1978.— Vol. NS-25.— P. 1607—1612.
40. Thompson I., Thomas R. E., Berndt L. P. Radiation dosimetry with MOS sensors // Radiation Protection Dosimetry.— 1984.— Vol. 6.— P. 121—124.
41. Holmes-Siedle A. G., Adams L. RADFETs: a review of the use of metal-oxide-silicon devices as integrating dosimeters // Radiat. Phys. Chem.— 1986.— Vol. 28, N 2.— P. 235—244.
42. Hughes R. C., Huffman D., Snelling J. V. et al. Miniature radiation dosimeter for in vivo radiation measurements // Int. J. Radiat. Oncol. Phys.— 1988.— Vol. 14.— P. 963—967.
43. Ensell C., Holmes-Siedle A., Adams L. Thick oxide p-MOSFET dosimeter for high energy radiation // Nucl. Instrum. and Methods.— 1988.— Vol. A269.— P. 655—658.
44. Litovchenko P. G., Barabash L. I., Rozenfeld A. B. et al. MOS structure for emergency gamma and proton dosimetry // Radiation Protection Dosimetry.— 1990.— Vol. 33.— P. 179—182.
45. Buehler M. G., Blaes B. R., Soli G. A., Tardio G. R. On-chip p-MOSFET dosimetry // IEEE Trans. on Nuclear Science.— 1993.— Vol. 40.— P. 1442—1449.
46. Soubra M., Cygler J., Mackay G. Evaluation of a dual bias metal oxide-silicon semiconductor field effect transistor detector as radiation dosimeter // Med. Phys.— 1994.— Vol. 21.— P. 567—572.
47. Butson M. J., Rosenfeld A. B., Mathur J. N. et al. A new radiotherapy surface dose detector: the MOSFET // Med. Phys.— 1996.— Vol. 23.— P. 655—658.
48. Ramani R., Russell S., O'Brien P. Clinical dosimetry using MOSFET's // Int. J. Radiat. Oncol. Biol. Phys.— 1997.— Vol. 37.— P. 959—964.
49. Sarabayrouse G., Siskos S. Radiation dose measurement using MOSFETs // IEEE Instrum. Meas. Magazine.— 1998.— Vol. 1 (2).— P. 26—34.
50. Halvorsen P. H. Dosimetric evaluation of a new design MOSFET in vivo dosimeter // Med. Phys.— 2005.— Vol. 32.— P. 110—117.
51. Gladstone D. J., Lu X. Q., Humm J. L. et al. A Miniature MOSFET radiation dosimeter probe // Med. Phys.— 1994.— Vol. 21.— P. 1721—1728.
52. Rosenfeld A. B. MOSFET dosimetry on modern radiation oncology modalities // Radiation Protection Dosimetry.— 2002.— Vol. 101.— P. 393—398.
53. Asensio L. J., Carvajal M. A., Lopez-Villanueva J. A. et al. Evaluation of low-cost commercial MOSFET as radiation dosimeter // Sensors and Actuators.— 2006.— Vol. A125.— P. 288—295.
54. Kwan I. S., Rosenfeld A. B., Qi Z. Y. et al. Skin dosimetry with new MOSFET detectors // Radiation Measurements.— 2008.— Vol. 43.— P. 929—932.
55. Перевтайло В. Л. Создание элементной базы для ядерно-физического и радиационного приборостроения на основе кремниевой интегральной технологии // Тр. 5-й Междунар. науч.-практич. конф. «Современные информационные и электронные технологии».— Одесса.— 2004.— С. 200.
56. Rosenfeld A. B., Carolan M. G., Kaplan G. I. et al. MOSFET dosimeters: the role of encapsulation on dosimetric characteristics in mixed gamma-neutron and megavoltage X-ray fields // IEEE Trans. on Nuclear Science.— 1996.— Vol. 42, N. 6.— P. 1870—1877.
57. Зи С. М. Технология СБИС. Часть. 1.— М.: Мир, 1986.
58. Интегральные схемы на МДП приборах / Под ред. А. Н. Кармазинского.— М.: Мир, 1975.
59. Перевтайло В. Л., Жора В. Д., Грунинская В. П. и др. Сборка кремниевых детекторов на гибких носителях типа Al-полимид // Технология и конструирование в электронной аппаратуре.— 2009.— № 1.— С. 40—44.
60. Rosenfeld A. B., Kwan I. S., Wilkinson D. et al. The effect of rectal heterogeneity on wall dose in high dose-rate brachytherapy // Med. Phys.— 2009.— Vol. 36.— P. 224—232.
61. Перевтайло В. Л. Метод определения радиационной стойкости интегральных схем с помощью низкоэнергетичного рентгеновского излучения // Матер. 16-й Междунар. конф. «Современные методы и средства неразрушающего контроля и технической диагностики».— Ялта.— 2008.— С. 194—196.